



Semecon Oy

**Malakakankaan tuulivoimahankkeen välkeselvitys (VE1)**

101022365-001, 31.10.2023

Tekijä  
AFRY Finland Oy  
Juulianna Lähteinen

E-mail  
[juulianna.lahteinen@afry.com](mailto:juulianna.lahteinen@afry.com)

Osasto  
Wind and Solar Finland

Raporttiversio  
002

Asiakas  
Semecon Oy  
Olli Malkamäki

Päivämäärä  
31/10/2023

Projektinumero  
101022365-001

Raportin tila  
LUONNOS

## Malakakankaan tuulivoimahankkeen välkesselvitys (VE1)

## Raporttihistoria

Versio	Pvm/Laatiija	Pvm/Tarkastaja	Merkinnät/Muutokset
001	21.09.2023/ Juulianna Lähteinen, Technical Consultant	21.09.2023/ Mika Laitinen, Senior Consultant	Alkuperäinen
002	31.10.2023/ Juulianna Lähteinen, Technical Consultant	31.10.2023/ Mika Laitinen, Senior Consultant	Voimalakoordinaatit, napakorkeus sekä roottorin halkaisija muutettu.

## Aineistojen käyttöoikeudet

Selvityksessä on käytetty Maanmittauslaitoksen, Suomen ympäristökeskuksen ja Ilmatieteen laitoksen avoimien aineistojen käyttöluvien alaista materiaalia, jotka on lisensoitu Creative Commons Nimeä 4.0 Kansainvälinen -lisenssillä: <https://creativecommons.org/licenses/by/4.0/deed.fi>.

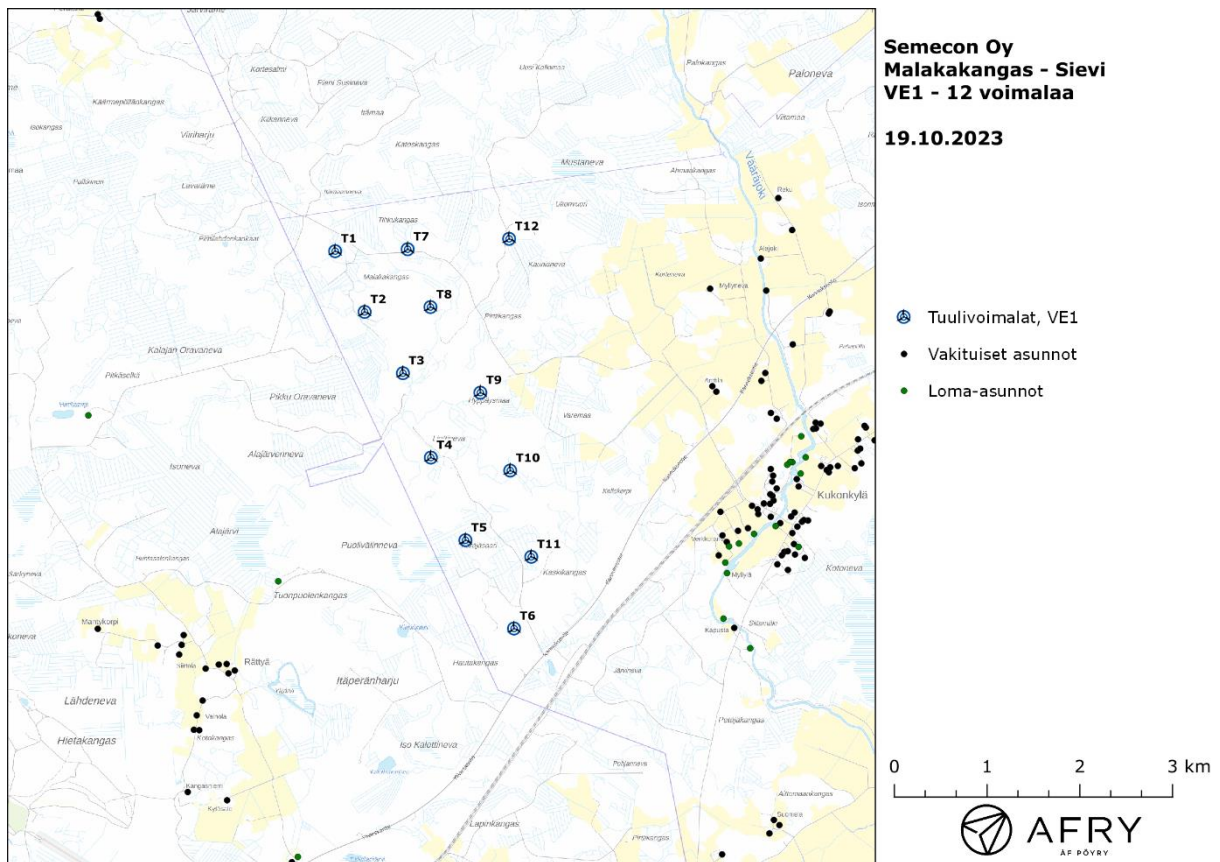
## Sisällysluettelo

1	Johdanto .....	4
2	Tuulivoimaloiden välke .....	6
2.1	Välkevaikutus.....	6
2.2	Välkkeen rajoittaminen.....	6
2.3	Arvioinnin epävarmuudet.....	6
2.4	Ohjeavot .....	7
3	Tuulivoimakohteen välkemallinnus.....	8
3.1	Mallinnusmenetelmä ja lähtöaineisto .....	8
3.2	Todennäköinen välkevaikutus.....	11
3.3	Teoreettinen välkevaikutus .....	13
4	Yhteenveto .....	14
5	Välkevaikutuksen laskentamenetelmä .....	15
6	Viitteet .....	17

# 1 Johdanto

Selvityksessä arvioidaan Sievin kunnan alueelle suunnitellun Malakakankaan tuulivoimapuiston aiheuttamaa välkevaikutusta laskennallisten mallien avulla. Arviointi on tehty 12 voimalan sijoitussuunnitelmalle VE1. Voimaloiden sijainnit on esitetty kuvassa (Kuva 1) ja koordinaatit annettu taulukossa (Taulukko 1).

Mallinnuksissa voimaloille on käytetty napakorkeutta 214 m ja roottorin halkaisijaa 172 m. Voimaloiden lapaprofiili on määritetty voimalatyypin V162 valmistajan ilmoittaman lapaprofiilin avulla, jonka pituus on kasvatettu 86 metriin. Profiilia on samalla levennetty siten, että lavan levein kohta on 4,4 m (V162:n lapaprofiilin levein kohta on 4,3 m).



Kuva 1: Tuulivoimaloiden sijainnit Malakakankaan hankealueella sijoitussuunnitelmalla VE1.

*Taulukko 1: Tuulivoimaloiden (12 kpl) sijaintikoordinaatit ETRS-TM35FIN-koordinaatistossa ja maaston korkeus turbiinipaikalla.*

Turbiinit	E	N	Maaston korkeus [m]
T1	360035	7097920	85
T2	360353	7097266	85
T3	360766	7096606	85
T4	361067	7095697	88
T5	361440	7094807	89
T6	361964	7093856	90
T7	360817	7097941	76
T8	361063	7097318	77
T9	361601	7096396	85
T10	361923	7095557	82
T11	362150	7094628	84
T12	361911	7098053	76

## 2 Tuulivoimaloiden välke

### 2.1 Välkevaikutus

Välkevaikutuksella tarkoitetaan tilannetta, jossa Auringon paisteen ja tarkastelupisteen väliin jäävän voimalan lavat aiheuttavat välkkyvän varjon. Välke voi ulottua pisimmillään 1–3 km etäisyydelle voimalasta. Välkevaikutuksen etäisyyteen ja keston vaikuttavat tuulivoimalan korkeus ja roottorin halkaisija, vuoden- ja vuorokaudenaika, maaston muodot sekä näkyvyyttä rajoittavat tekijät kuten kasvillisuus ja pilvisuus.

Suomen sijainnin vuoksi yksittäisen tuulivoimalan välkevaikutus kohdistuu valtaosin voimalan pohjoispuolelle (päiväaika) sekä lounais- ja kaakkoispuolille (aamu- ja iltatimet). Suomessa voimala aiheuttaa välkevaikutusta eteläpuolelleen vain pohjoisen napapiirin pohjoispuolella.

Välkevaikutuksen laskenta voi perustua joko teoreettisen maksimivälkkeen tai todennäköisen tilanteen mallinnukseen:

- Teoreettisen maksimivälkkeen laskennassa oletetaan, että päiväaikaan Aurinko paistaa jatkuvasti, tuulivoimalan roottori pyörii jatkuvasti, ja roottori on aina kohtisuorassa Aurinkoa kohden.
- Todennäköisen tilanteen mallinnuksessa otetaan huomioon paikallinen tilastollinen aineisto auringonpaisteen määrästä ja ajoittumisesta sekä tuulen suuntien ja nopeuksien jakautumisesta.

Tämän selvityksen väkelaskenta on tehty mallintamalla sekä todennäköinen välkeaika että teoreettinen maksimivälke.

### 2.2 Välkkeen rajoittaminen

Välkevaikutusta voidaan vähentää voimalakohtaisella välkkeen hallintatyökalulla (shadow flicker protection system), joka sisältää valoanturin ja välkkeenhallintasovelluksen. Työkalun avulla voimala voidaan pysäyttää joko havaitun auringonpaisteen perusteella ja/tai haluttuina vuoden- ja kellonaikoina. Pysäytetty voimala ei aiheuta välkettä.

### 2.3 Arvioinnin epävarmuudet

Mallinnettu todennäköinen välkevaikutus perustuu auringonpaisteen ja tuulisuuden tilastolliseen aineistoon. Yksittäisen vuoden sääolosuhteet saattavat poiketa merkittävästi keskimääräisistä olosuhteista, jolloin vuotuinen välkevaikutus voi poiketa mallinnetusta arvosta. Auringonpaisteen aineisto on saatu Pelmaan sääasemalta, josta etäisyys hankealueeseen on noin 140 km.

Mallinnuksessa ei ole huomioitu paikallisen puuston vaikutusta voimaloiden näkyvyyteen ja välkevaikutukseen. Puusto voi rajoittaa merkittävästi näkyvyyttä turbiineille ja vähentää vuotuista välkevaikutusta. Puuston näkyvyyttä peittävä vaikutus vaihtelee kuitenkin vuosien ja vuodenaikojen suhteen, minkä vuoksi puuston välkettä vähentävää vaikutusta ei pystytä arvioimaan tarkasti.

Rakennuksiin kohdistuvan välkkeen laskennassa käytetään ns. kasvihuone-oletusta, jolloin rakennukseen kohdistuva välkevaikutus huomioidaan riippumatta suunnasta. Välkevaikutuksen laskennallinen arvio kuvaa siis välkevaikutusta ulkona. Rakennusten sisätiloissa välkevaikutus on yleensä vähäisempi, koska välkevaikutus kohdistuu rakennuksen sisätiloihin vain ikkunoiden suunnasta.

## 2.4 Ohjearvot

Tuulivoimaloiden välkevaikutukselle ei ole Suomessa määritelty ohjearvoja. Ympäristöministeriön ohjeissa tuulivoimapuiston suunnitteluun suositellaan käytettäväksi muiden maiden suosituksia välkemäärien osalta [4]. Tanskassa on määritetty vuotuisen välketuntimäärän suositusarvoksi 10 h. Ruotsissa vastaava suositusarvo on 8 h ja korkeintaan 30 min päivässä [2]. Näiden ohjearvojen käyttö edellyttää todennäköisen välketilanteen laskentaa. Mikäli välketuntien arvioinnissa käytetään laskennallista maksimituntimäärää, voidaan vuotuisen välkevaikutuksen ohjearvona käyttää Saksassa käytettävää 30 h raja-arvoa. Tässä raportissa mallinnettujen välketasojen arvioinnissa käytetään Ruotsin suunnitteluohjeissa annettuja ohjearvoja todennäköisen välkkeen tapauksessa. Teoreettisen maksimivälkkeen arvioinnissa käytetään Saksan 30 tunnin raja-arvoa vuodessa ja 30 minuuttia päivässä.



## 3 Tuulivoimakohteen välkemallinnus

### 3.1 Mallinnusmenetelmä ja lähtöaineisto

Tuulivoimaloiden aiheuttama välkevaikutus (shadow flicker) arvioitiin AFRY Numerola -mallinnusohjelmistolla, joka huomioi auringon paikan vuoden eri aikoina, tuulivoima-alueen ja sen ympäristön maastonmuodot sekä tuuliturbiinien dimensiot. Laskennan tuloksena saadaan tietoa siitä, kuinka monta tuntia vuodessa alueen eri kohteet ovat välkevaikutuksen alaisena. Tulosta havainnollistetaan tasa-arvokäyrästä, jonka perusteella voidaan arvioida varjostusvaikutusta tarkastelualueella.

Tarkastelualueiden maanpinnan korkeuserot on saatu Maanmittauslaitoksen aineistosta *Korkeusmalli 10 m*. Korkeusdatan vaakaresoluutio on 10 m ja pystysuorainen tarkkuus 1,4 m. Laskennassa huomioitiin korkeuserot siten, että jos Auringon, turbiinin ja tarkastelupisteen kautta kulkeva jana leikkaa maanpintaa, niin varjostusta ei esiinny. Välkevaikutus laskettiin 2 m korkeudelle. Auringonpaistekulman rajana horisontista käytettiin kolmea astetta, jonka alle menevää säteilyä ei oteta huomioon varjostuksessa.

Turbiinin lapojen aiheuttama varjo heikkenee asteittain liikuttaessa etäämmälle turbiinista, eikä tietyn etäisyyden jälkeen varjo ole enää ihmissilmin havaittavissa. Tämä etäisyys riippuu turbiinin lavan leveydestä, ja esimerkiksi Ruotsin tuulivoimarakentamisen suunnitteluohjeistuksessa määritellään, että välkevaikutus huomioidaan mikäli lapa peittää vähintään 20 % Auringosta. Käytännössä tämä asettaa lavan leveydestä riippuvan maksimietäisyyden yksittäisen turbiinin aiheuttamalle välkevaikutukselle, eikä sen ulkopuolella välkevaikutusta ole.

Yleensä väkelaskennan maksimietäisyyden laskenta perustuu lavan keskimääräiseen leveyteen, joka määrää maksimietäisyyden. Käytännössä turbiinin lapa ei ole vakiolevyinen: Levein kohta sijaitsee lähellä turbiinin napaa, ja lapa kapenee huomattavasti kärkeä kohti liikuttaessa. Tällä perusteella lavan tyven välkevaikutus ulottuu huomattavasti pidemmälle kuin lavan kärjen, mikäli arviointiperusteena käytetään Auringon peittoastetta. Tässä selvityksessä väkelaskennassa ei ole käytetty tavanomaista maksimietäisyyttä, vaan on huomioitu turbiinin muuttuva lapaprofiili.

Väkelaskennassa voimaloille on käytetty napakorkeutta 214 m ja roottorin halkaisijaa 172 m. Voimaloiden lapaprofiili on arvioitu voimalatyyppin Vestas V162 valmistajan ilmoittamalla lavan profiilitiedolla, joka on skaalattu lavan pituuden ja leveyden suhteen vastaamaan 172 metrin roottorin halkaisijaa. Laskentamenetelmän yksityiskohdat on kuvattu luvussa 5.

Todelliseen välkevaikutukseen vaikuttavat turbiinien käyttöaste, puusto ja paikallinen säätötila (pilvisuus ja tuulisuus). Jos esimerkiksi tuulen suunta on kohtisuorassa auringon ja tarkastelupisteen välistä linjaa vasten, ei varjostusvaikutusta esiinny. Varjostuksen laskennassa turbiinin orientaatio voidaan määrittää, jolloin roottori oletetaan tiettyyn suuntaan asetetuksi ympyrätasoksi. Todennäköisen välkevaikutuksen laskenta on suoritettu kuudella eri turbiinien orientaatiolla. Tämä vastaa 12 tuulen suuntasektorin varjostustuloksia, sillä vastakkaiset tuulensuunnat aiheuttavat välkkeen kannalta efektiivisesti saman roottorin orientaation. Kullakin tuulen suunnalla laskettua väketuntimäärää on skaalattu Suomen tuuliatlaksesta [1] saatavan suuntasektorin esiintymisfrekvenssillä ja suuntakohtaisesta nopeusjakaumasta määritellyn turbiinin käyntinopeuksien ajallisella osuudella. Käynnistysnopeutta alemmissa tai pysäytysnopeutta korkeammassa tuulissa turbiinit ovat paikallaan, jolloin roottorin pyörimisestä aiheutuvaa valon välkkymistä ei esiinny. Suomen tuuliatlaksen tuulisuusestimaatti on otettu tuulivoima-alueen keskeltä korkeudelta 200 m, ja sen perusteella lasketut suuntasektorikohtaiset osuudet turbiinin käyntinopeusvälille osuille tuulille on lueteltu taulukossa (Taulukko 2).

Paikallinen pilvisuus on huomioitu skaalaamalla eri roottoriorientaatioilla laskettuja varjostusaikoja Pelmaan sääasemalta mitattujen auringonpaistetuntien suhteellisella osuudella teoreettisesta maksimipaistetuntien määrästä [3]. Sääaseman mittauksen perusteella lasketut kuukausittaiset auringonpaisteen todennäköisyydet on koottuna taulukkoon (Taulukko 3). Suuntaakohtaisesti skaalatut välketuntimäärät yhteen laskien saadaan arvio todellisesta, säätilan huomioonottavasta välketuntimäärästä tarkastelualueella.

*Taulukko 2: Suuntasektoriokohtaiset osuudet yli 3 m/s tuulenopeuksille Suomen tuuliatlaksen perusteella.*

Suuntasektori	0/180	30/210	60/240	90/270	120/300	150/330
Yli 3 m/s osuus	0,170	0,192	0,177	0,125	0,117	0,144

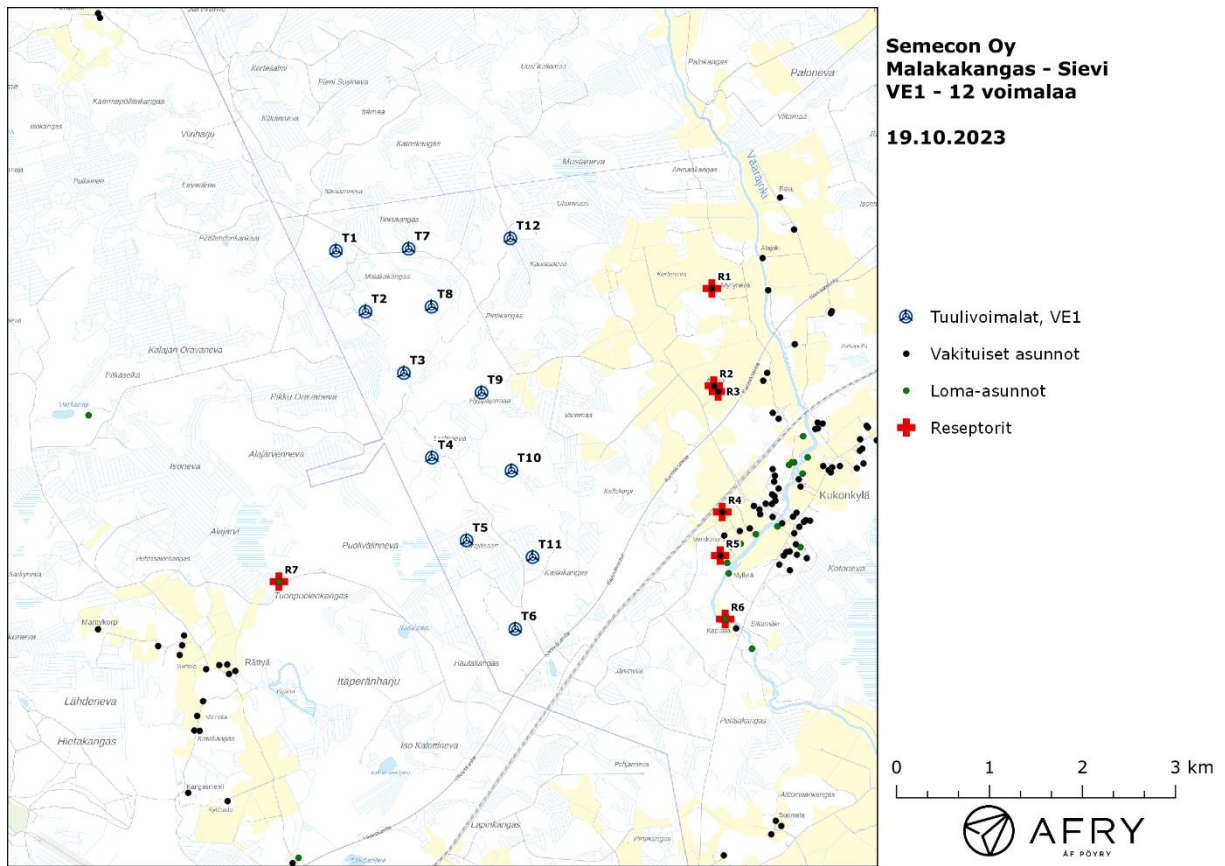
*Taulukko 3: Auringonpaisteen kuukausittaiset todennäköisyydet Pelmaan sääasemalla.*

Kuukausi	Auringonpaisteen todennäköisyys
Tammikuu	0,162
Helmikuu	0,291
Maaliskuu	0,398
Huhtikuu	0,423
Toukokuu	0,479
Kesäkuu	0,459
Heinäkuu	0,454
Elokuu	0,414
Syyskuu	0,358
Lokakuu	0,260
Marraskuu	0,150
Joulukuu	0,110

Taulukossa (Taulukko 4) on määritelty tuulivoimaloiden ympäristöstä seitsemän vertailurakennusta, joiden kohdilla välkevaikutusta tarkastellaan tarkemmin. Sijaintipisteitä kutsutaan reseptoripisteiksi, ja niiden paikat suhteessa tuulivoimaloihin on esitetty karttapohjalla (Kuva 2). Rakennukset sijaitsevan noin 2-2,4 km etäisyydellä voimaloista.

Taulukko 4: Vertailupisteiden koordinaatit ETRS-TM35FIN-koordinaatistossa.

Reseptori	E	N	Maaston korkeus [m]	Rakennusluokitus
R1	364080	7097513	69	vakituinen asuinrakennus
R2	364100	7096469	74	vakituinen asuinrakennus
R3	364147	7096405	72	vakituinen asuinrakennus
R4	364191	7095111	74	vakituinen asuinrakennus
R5	364169	7094643	75	vakituinen asuinrakennus
R6	364223	7093961	74	lomarakennus
R7	359422	7094363	88	lomarakennus



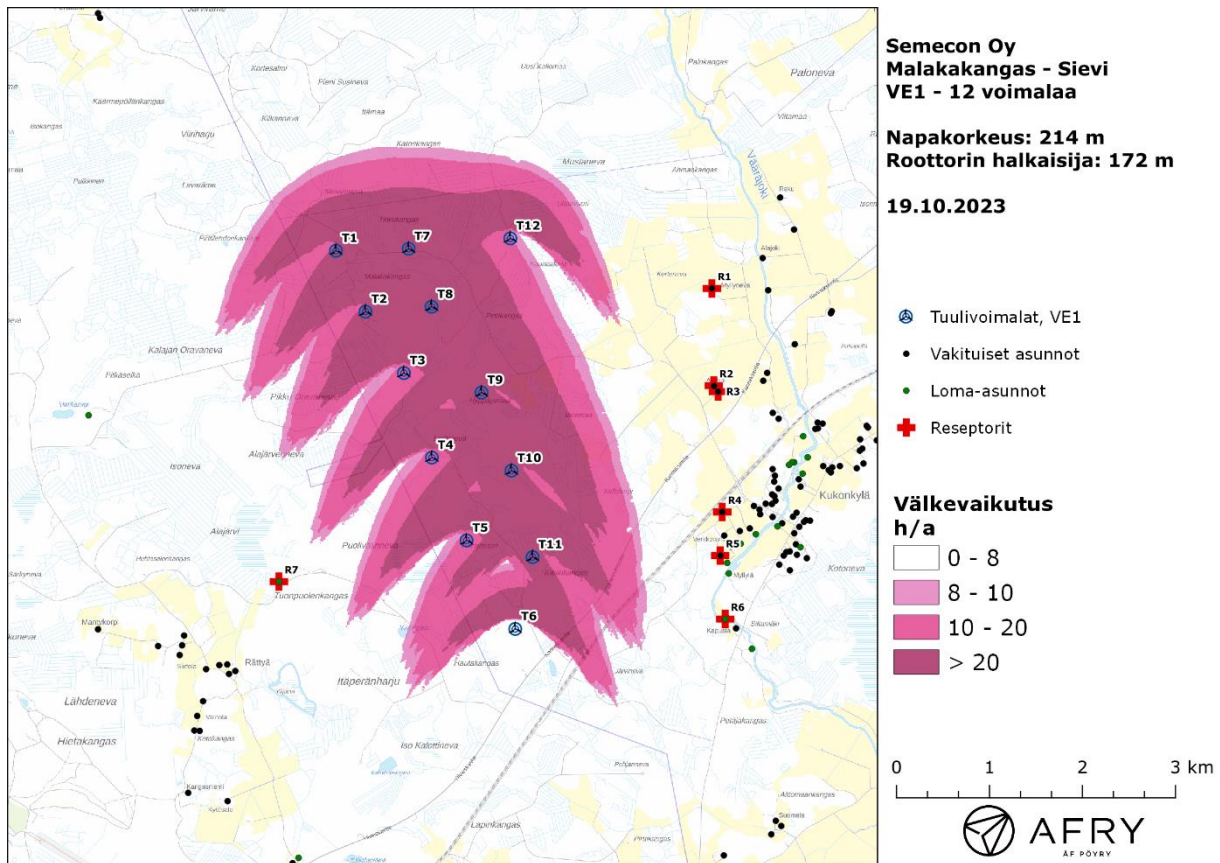
Kuva 2: Reseptoreiden paikat tuulivoimauiston hankealueella.

### 3.2 Todennäköinen välkevaikutus

Mallinnetut arviot todennäköisten välketuntien vuotuisesta määrästä on esitetty karttakuvana (Kuva 3). Mallinnuksessa ei ole huomioitu paikallisen puuston vaikutusta turbiinien näkyvyyteen ja välkevaikutukseen. Karttoihin on merkitty ympäristössä sijaitsevat loma- ja asuinrakennukset käyttäen lähtötietona Maanmittauslaitoksen maastotietokannan sisältämiä tietoja.

Mallinnusten perusteella vuotuinen todennäköinen välkevaikutus jää alle 8 tunnin ohjearvon kaikkien lähialueen asuin- ja lomarakennusten kohdalla. Myös päiväkohtainen todennäköinen välke aika alittaa 30 minuutin ohjearvon kaikkien alueen asuntojen kohdalla. Vuotuiset todennäköiset välkevaikutusajat ja suurimmat päiväkohtaiset maksimivälkkeet reseptorien kohdalla on lueteltu taulukossa (Taulukko 5).

Todennäköisen välkkeen tarkempi ajoittuminen reseptorin R7 kohdalla on esitetty taulukossa (Taulukko 6). Taulukossa esitetyt kellonajat ovat aikavyöhykkeen UTC+2 mukaisia (Suomen talvi-aika).



Kuva 3: Tuulivoimaloiden aiheuttama todennäköisen välkkeen määrä ilman puuston vaikutusta sijoitussuunnitelmalla VE1.

Taulukko 5: Todennäköinen vuotuinen välkevaikutus tunteina ja minuutteina reseptoreiden kohdilla.

Reseptori	Todennäköinen vuotuinen välke aika [h:min]	Todennäköisen välkkeen päiväkohtainen maksimivälke aika [min]
R1	0:20	2
R2	0:12	2
R3	0:11	2
R4	0:39	3
R5	0:53	3
R6	0:39	2
R7	2:30	3

Taulukko 6: Todennäköisen välkevaikutuksen ajoittuminen ja kesto tunteina ja minuutteina [h:min] reseptorin R7 kohdalla.

Kellonaika	0-2	2-4	4-6	6-8	8-10	10-12	12-14	14-16	16-18	18-20	20-22	22-24	
Tammikuu	0:00	0:00	0:00	0:00	0:00	0:00	0:00	0:00	0:00	0:00	0:00	0:00	0:00
Helmikuu	0:00	0:00	0:00	0:00	0:00	0:00	0:00	0:00	0:00	0:00	0:00	0:00	0:00
Maaliskuu	0:00	0:00	0:00	0:00	0:00	0:00	0:00	0:00	0:00	0:00	0:00	0:00	0:00
Huhtikuu	0:00	0:00	0:17	0:00	0:00	0:00	0:00	0:00	0:00	0:00	0:00	0:00	0:17
Toukokuu	0:00	0:15	0:00	0:00	0:00	0:00	0:00	0:00	0:00	0:00	0:00	0:00	0:15
Kesäkuu	0:00	0:40	0:13	0:00	0:00	0:00	0:00	0:00	0:00	0:00	0:00	0:00	0:53
Heinäkuu	0:00	0:07	0:42	0:00	0:00	0:00	0:00	0:00	0:00	0:00	0:00	0:00	0:49
Elokuu	0:00	0:00	0:16	0:00	0:00	0:00	0:00	0:00	0:00	0:00	0:00	0:00	0:16
Syyskuu	0:00	0:00	0:00	0:00	0:00	0:00	0:00	0:00	0:00	0:00	0:00	0:00	0:00
Lokakuu	0:00	0:00	0:00	0:00	0:00	0:00	0:00	0:00	0:00	0:00	0:00	0:00	0:00
Marraskuu	0:00	0:00	0:00	0:00	0:00	0:00	0:00	0:00	0:00	0:00	0:00	0:00	0:00
Joulukuu	0:00	0:00	0:00	0:00	0:00	0:00	0:00	0:00	0:00	0:00	0:00	0:00	0:00
Yhteensä	0:00	1:01	1:29	0:00	0:00	0:00	0:00	0:00	0:00	0:00	0:00	0:00	2:30

### 3.3 Teoreettinen välkevaikutus

Teoreettisen maksimivälkkeen vuotuiset ja suurimmat päiväkohtaiset välkevaikutusajat reseptoreiden kohdilla on lueteltu taulukossa (Taulukko 7). Mallinnusten perusteella teoreettinen vuotuinen ja päiväkohtainen maksimivälkeika pysyy alle ohjearvojen kaikkien rakennusten kohdalla, kun välkeajoja verrataan Saksan raja-arvoihin.

Taulukko 7: Vuotuinen teoreettinen välkevaikutus tunteina ja minuutteina reseptoreiden kohdilla.

Reseptori	Teoreettinen vuotuinen välkeika [h:min]	Teoreettisen välkkeen päiväkohtainen maksimivälkeika [min]
R1	1:26	9
R2	0:59	8
R3	0:55	8
R4	2:55	11
R5	4:09	12
R6	2:56	10
R7	9:02	12

Taulukko 8: Teoreettisen maksimivälkkeen ajoittuminen ja kesto tunteina ja minuutteina [h:min] reseptorin R7 kohdalla.

Kellonaika	0-2	2-4	4-6	6-8	8-10	10-12	12-14	14-16	16-18	18-20	20-22	22-24	
Tammikuu	0:00	0:00	0:00	0:00	0:00	0:00	0:00	0:00	0:00	0:00	0:00	0:00	0:00
Helmikuu	0:00	0:00	0:00	0:00	0:00	0:00	0:00	0:00	0:00	0:00	0:00	0:00	0:00
Maaliskuu	0:00	0:00	0:00	0:00	0:00	0:00	0:00	0:00	0:00	0:00	0:00	0:00	0:00
Huhtikuu	0:00	0:00	1:07	0:00	0:00	0:00	0:00	0:00	0:00	0:00	0:00	0:00	1:07
Toukokuu	0:00	0:49	0:02	0:00	0:00	0:00	0:00	0:00	0:00	0:00	0:00	0:00	0:51
Kesäkuu	0:00	2:19	0:47	0:00	0:00	0:00	0:00	0:00	0:00	0:00	0:00	0:00	3:06
Heinäkuu	0:00	0:34	2:16	0:00	0:00	0:00	0:00	0:00	0:00	0:00	0:00	0:00	2:51
Elokuu	0:00	0:00	1:07	0:00	0:00	0:00	0:00	0:00	0:00	0:00	0:00	0:00	1:07
Syyskuu	0:00	0:00	0:00	0:00	0:00	0:00	0:00	0:00	0:00	0:00	0:00	0:00	0:00
Lokakuu	0:00	0:00	0:00	0:00	0:00	0:00	0:00	0:00	0:00	0:00	0:00	0:00	0:00
Marraskuu	0:00	0:00	0:00	0:00	0:00	0:00	0:00	0:00	0:00	0:00	0:00	0:00	0:00
Joulukuu	0:00	0:00	0:00	0:00	0:00	0:00	0:00	0:00	0:00	0:00	0:00	0:00	0:00
Yhteensä	0:00	3:43	5:19	0:00	0:00	0:00	0:00	0:00	0:00	0:00	0:00	0:00	9:02

## 4 Yhteenveto

Raportissa on esitetty Sievin kunnan alueelle suunnitellun Malakakankaan tuulivoimapuiston ympäristölleen aiheuttaman välkevaikutuksen laskennallinen arvio. Vaikutusten arviointi on tehty 12 voimalan sijoitussuunnitelmalle VE1, roottorin halkaisijalla 172 m ja napakorkeudella 214 m.

Välkevarjostusmallinnuksen mukaan vuotuinen todennäköinen välkevaikutus jää alle 8 tunnin ohje-arvon kaikkien asuin- ja lomarakennusten kohdalla. Myös todennäköinen päiväkohtainen välkeaika laittaa 30 minuutin ohje-arvon kaikkien loma- ja asuinrakennusten kohdilla.

Välkevarjostusmallinnuksen mukaan vuotuinen teoreettinen maksimivälke jää alle Saksan 30 tunnin raja-arvon. Myös teoreettinen päiväkohtainen maksimivälkeaika alittaa 30 minuutin raja-arvon.



## 5 Välkevaikutuksen laskentamenetelmä

Välkevaikutuksen laskennassa hyödynnetään taivaanpallon käsitettä, joka on maapallon maantieteellistä koordinaatistoa vastaava kuvitteellinen kuori katsottaessa maapallolta taivaalle. Samalla tavoin kuin paikan sijainti maapallolla voidaan ilmoittaa pituus- ja leveyspiirien avulla, voidaan taivaankappaleiden paikat taivaanpallolla ilmoittaa kahden koordinaatin (rektaskensio ja deklinaatio) avulla. Aurinko kulkee vuoden aikana taivaanpallolla kääntöpiirien väliin asettuvalla nauhalla, ja Auringon esiintymistiheys kyseisellä nauhalla voidaan esittää tiheysfunktiona.

Tiettyyn pisteeseen kohdistuvaa vuotuista välkevaikutusta laskettaessa tarkastellaan sitä osaa taivaanpallosta, joka näkyy pisteeseen tuulivoimaloiden roottorikehien läpi. Näkyvyyden arvioinnissa otetaan huomioon paikallinen maaston korkeusaineisto. Mikäli kääntöpiirien väliin asettuva nauha ei näy roottorikehien läpi, tarkastelupisteeseen ei kohdistu välkevaikutusta. Muussa tapauksessa yksittäisen turbiinin aiheuttamien välketuntien määrä saadaan integroimalla tiheysfunktioita turbiinin roottorikehän läpinäkyvällä taivaanpallon osuudella. Turbiinien yhteisvaikutus saadaan summaamalla turbiinikohtaiset välketunnit ottaen kuitenkin huomioon mahdolliset päällekkäisyydet roottorikehien peittämässä alueissa. Laskenta suoritetaan erikseen turbiinien eri orientaatioille, joita skaalataan suuntakohtaisilla tuulusuusosuuksilla.

Huomioitaessa kuukausittaista (tai muuta lyhytaikaista) vaihtelua auringonpaisteen todennäköisyydessä, taivaanpallon nauha jaetaan vastaaviin osiin Auringon deklinaation mukaan. Tiheysfunktio määritellään näissä osissa erikseen, ja integroinnin tuloksia skaalataan kuukausikohtaisilla todennäköisyyksillä.

Turbiinin lapojen aiheuttama varjo heikkenee asteittain liikuttaessa etäämmälle turbiinista, eikä tietyn etäisyyden jälkeen varjo ole enää ihmissilmin havaittavissa. Tämä etäisyys riippuu turbiinin lavan leveydestä, ja esimerkiksi Ruotsin ja Saksan tuulivoimarakentamisen suunnitteluohjeistuksessa määritellään, että välkevarjostus huomioidaan, mikäli lapa peittää vähintään 20 % Auringosta. Käytännössä tämä asettaa lavan leveydestä riippuvan maksimietäisyyden yksittäisen turbiinin aiheuttamalle välkevaikutukselle, eikä sen ulkopuolella välkevaikutusta ole.

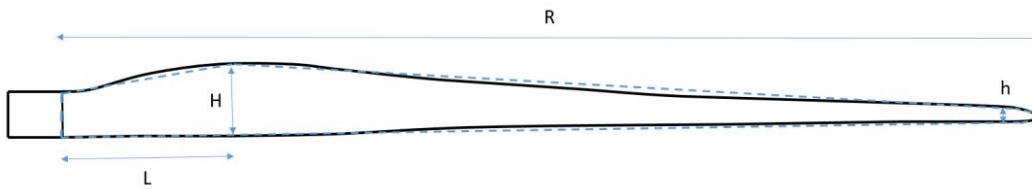
Kun lavan leveys on  $w$  metriä, niin 20 % Auringon peittoon perustuvan välkevarjostuksen maksimietäisyyden määrittämiseen voidaan johtaa laskentakaava

$$\text{maksimietäisyys} = (5 * d * w) / 1'097'780,$$

missä  $d$  on etäisyys Aurinkoon (150'000'000 km). Yleensä välkelaskennan maksimietäisyyden laskenta perustuu lavan keskimääräiseen leveyteen, joka määrää maksimietäisyyden. Käytännössä turbiinin lapa ei ole vakiolevyinen: Levein kohta sijaitsee lähellä turbiinin napaa ja lapa kapenee huomattavasti kärkeä kohti liikuttaessa. Tällä perusteella lavan tyven välkevaikutus ulottuu huomattavasti pidemmälle kuin lavan kärjen, mikäli arviointiperusteena käytetään Auringon peittoastetta.

Seuraavassa kaaviokuvassa (Kuva 4) on esitetty malli tyypillisestä profiilista, jossa lavan maksimileveys on  $H$  etäisyydellä  $L$  lavan tyvestä. Lavan kokonaispituus on  $R$  ja lavan leveys 90 % etäisyydellä tyvestä on  $h$ . Lavan oletetaan kapenevan lineaarisesti arvosta  $H$  arvoon  $h$  liikuttaessa maksimikohdasta kärkeen. Tavanomaisesti välkelaskennassa turbiinin keskimääräinen leveys on määritetty parametrien  $H$  ja  $h$  keskiarvona.





*Kuva 4: Turbiinin lavan malliprofiili.*

Tämän raportin välkelaskennassa käytetään turbiinivalmistajan ilmoittamiin tietoihin perustuvaa lavan profiilitietoa. Laskennassa huomioitava roottorin säde vaihtelee välillä  $[0, R]$  riippuen tarkastelupisteen etäisyydestä turbiineihin sekä lavan leveydestä ja sitä vastaavasta Auringon peittoasteesta. Tällä tavoin välkelaskennassa huomioidaan turbiinin muuttuva lapaprofiili, ja saadaan realistisempia tuloksia kuin olettamalla tietty keskimääräinen lavan leveys ja sitä vastaava kiinteä maksimietäisyys.

## 6 Viitteet

- [1] B. Tammelin et al.: Production of the Finnish Wind atlas. Wind Energy, 2011.
- [2] Boverket: *Vindkraftshandboken*, Planering och prövning av vindkraftverk på land och i kustnära vattenområden, 2009.
- [3] P. Jokinen et al.: Tilastoja Suomen ilmastosta ja merestä 1990-2020, Ilmatieteen laitos, Raportteja 2021:8.
- [4] Tuulivoimarakentamisen suunnittelu. Päiväys 2016. Ympäristöhallinnon ohjeita 5|2016.